

Моргулис Н. Д., Преобразование тепловой энергии в электрическую с помощью термоэлектронной эмиссии, «УФН», 1960, т. 70, с. 679; Термоэмиссионные преобразователи и низкотемпературная плазма, М., 1973; Стаканов И. П., Черковец В. Е., Физика термоэмиссионного преобразователя, М., 1985; Математическое моделирование процессов в низковольтном плазменно-пучковом разряде, М., 1990.

Ф. Г. Бакшт.

ТЕРМОЯДЕРНЫЕ РЕАКЦИИ — ядерные реакции между лёгкими атомными ядрами, протекающие при очень высоких темп-рах ($\gtrsim 10^7$ — 10^8 К). Т. р.— основной (хотя и не единственный) тип процессов, в которых ядрам, испытывающим взаимное кулоновское отталкивание, удаётся, присоделов соответствующий электростатический барьер (рис. 1), сблизиться на расстояние порядка радиуса действия ядерных сил притяжения и, провалившись в образуемую ими глубокую потенциальную яму, совершить ту или иную экзоэнергетич. (т. е. сопровождающуюся выделением энергии) ядерную перестройку. Под «выделением энергии» подразумевается выделение в продуктах реакций избыточной кинетич. энергии, равной увеличению суммарной энергии связи. Т. о., относительно рыхлые ядра перестраиваются в более прочно связанные, а поскольку ядра с наибольшей энергией связи на один нуклон находятся в сп. части периодич. системы Менделеева, то наиб. типичным механизмом экзоэнергетич. реакции является слияние (синтез) легчайших ядер в более тяжёлые. Вместе с тем существуют и экзоэнергетич. реакции деления лёгких ядер, напр. благодаря особой прочности ядра ${}^4\text{He}$ возможна реакция ${}^{11}\text{B} + \text{p} \rightarrow {}^{34}\text{He} + 8,7 \text{ МэВ}$.



Рис. 1. Потенциальная энергия межядерного взаимодействия как функция расстояния между ядрами; δ — относительная энергия ядер, отвечающая глубоко подбарьерному прохождению. Штрихованной показано «срезание» барьера отталкивания на боровском радиусе a_μ отрицательного мюона в кулоновском поле одного из сталкивающихся ядер, лежащее в основе явления μ -катализа.

Ниже, для краткости, все охарактеризованные выше процессы именуются реакциями ядерного синтеза (ЯС).

По механизму преодоления кулоновского барьера реакции ЯС можно разделить на два осн. класса: *A* — реакции при неискажённом барьере, требующие для своего протекания достаточно большого относит. энергии сталкивающихся ядер, к-рые соединяются им в результате ускорения или сильного разогрева; *B* — реакции т. н. холодного синтеза, к-рые становятся возможными в результате сильного искаżenia самого барьера — прежде всего его сужения благодаря «срезанию» внешней, наиб. широкой части.

Реакции класса *A* могут реализоваться либо в нек-ром ускорителе (реакция ЯС на мицени; возможен также случай «микроускорителя», см. ниже), либо в высокотемпературной плазме звёздных недр, ядерного взрыва, мощного газового разряда или в плазме вещества, разогретого гигантским импульсом лазерного излучения, бомбардировкой интенсивным пучком частиц и т. п.; именно в последнем круге явлений реакции ЯС сводятся к собственно Т. р.

Реакции класса *B* являются следствием таких физически разнородных явлений, как: 1) смятие кулоновского барьера колоссальным давлением в недрах плотных звёзд ($p \gg 10^4 \text{ г}/\text{см}^3$) — случай т. н. *макоядерных реакций* [3]; 2) прямое кулоновское экранирование поля дейтрона или протона захваченным на боровскую орбиту отриц. мюоном (рис. 1) — случай т. н. *мюонного катализа*.

Существуют и такие реакции ЯС, сама принадлежность к-рых к классу *A* или *B* пока совершенно неясна. Это относится, в частности, к сенсационным экспериментам Флейшмана — Понса (США, 1989, т. н. *холодный синтез*), в к-рых реакции ЯС наблюдались при электролитич. насыщении дейтерием кристаллич. решётки палладия (а затем

титана и др.). Физически более интересным и практически крайне замечательным механизмом ЯС здесь явилась бы взаимная кулоновская экранировка дейтронов в результате каких-то весьма нетривиальных квантово-механич. эффектов (класс *B*), однако более вероятным механизмом представляется всё же ускорение дейтронов в электрич. полях, возникающих в микротрещинах решётки при электролизе или при внедрении в неё дейтронов из газовой среды под давлением (класс *A*) [11].

Непрекращающий интерес к реакциям ЯС и прежде всего к Т. р., связан с тем, что они являются: 1) гл. источником энергии Солнца и звёзд, а также механизмом дозвёздных и звёздных процессов синтеза атомных ядер хим. элементов; 2) одной из физ. основ ядерного взрыва и (термо)ядерного оружия; 3) основой управляемого термоядерного синтеза (УТС) — экономически и экологически перспективного направления энергетики будущего.

Скорости Т. р. Для ряда экзоэнергетич. ядерных реакций, представляющих интерес в проблеме УТС, в табл.

Табл. 1. Экзоэнергетические реакции между лёгкими ядрами

№	Реакция	Энерговыделение, МэВ	σ_{\max} , барн (в области энергий $\lesssim 1 \text{ МэВ}$)	Энергия налетающей частицы, соответствующая σ_{\max} , МэВ
1	$p + p \rightarrow d + e^+ + v$	2,2	10^{-23}	—
2	$p + d \rightarrow {}^3\text{He} + \gamma$	5,5	10^{-6}	—
3	$p + t \rightarrow {}^4\text{He} + \gamma$	19,7	10^{-6}	—
4	$d + d \rightarrow t + p$	4,0	0,16 (при 2 МэВ)	2,0
5	$d + d \rightarrow {}^3\text{He} + n$	3,3	0,09	1,0
6	$d + d \rightarrow {}^3\text{He} + \gamma$	24,0	—	—
7	$d + t \rightarrow {}^4\text{He} + n$	17,6	5,0	0,13
8	$t + d \rightarrow {}^4\text{He} + n$	17,6	5,0	0,195
9	$t + t \rightarrow {}^4\text{He} + 2n$	11,3	0,10	1,0
10	$d + {}^3\text{He} \rightarrow {}^4\text{He} + p$	18,4	0,71	0,47
11	${}^3\text{He} + {}^3\text{He} \rightarrow {}^4\text{He} + 2p$	12,8	—	—
12	$n + {}^6\text{Li} \rightarrow {}^4\text{He} + t$	4,8	2,6	0,26
13	$p + {}^6\text{Li} \rightarrow {}^4\text{He} + {}^3\text{He}$	4,0	10^{-4}	0,3
14	$p + {}^7\text{Li} \rightarrow {}^4\text{He} + \gamma$	17,3	$6 \cdot 10^{-3}$	0,44
15	$d + {}^6\text{Li} \rightarrow {}^7\text{Li} + p$	5,0	0,01	1,0
16	$d + {}^6\text{Li} \rightarrow {}^2\text{He}$	22,4	0,026	0,60
17	$d + {}^7\text{Li} \rightarrow {}^2\text{He} + n$	15,0	10^{-3}	0,2
18	$p + {}^9\text{Be} \rightarrow {}^2\text{He} + d$	0,56	0,46	0,33
19	$p + {}^9\text{Be} \rightarrow {}^6\text{Li} + {}^4\text{He}$	2,1	0,35	0,33
20	$p + {}^{11}\text{B} \rightarrow {}^3\text{He}$	8,7	0,6	0,675
21	$p + {}^{15}\text{N} \rightarrow {}^{12}\text{C} + {}^4\text{He}$	5,0	0,69 (при 1,2 МэВ)	1,2

— протон, d — дейтрон (ядро дейтерия ${}^2\text{H}$), t — тритон (ядро трития ${}^3\text{H}$), n — нейтрон, e^+ — позитрон, v — нейтрино, γ — фотон. Распределение энерговыделения между продуктами реакции обычно обратно пропорционально их массам.

приведены значения энерговыделения и макс. эф. сечения σ_{\max} . На рис. 2 приведены зависимости σ от энергии налетающей частицы (в ф-лах реакций — первая слева).

При интерпретации этих данных, и в частности большого разброса значений σ_{\max} , следует иметь в виду, что сечение любой из реакций есть, грубо говоря, произведение

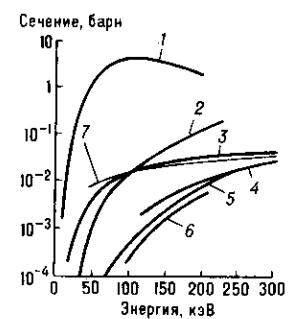


Рис. 2. Сечения реакций ядерного синтеза в зависимости от энергии налетающей частицы (в табл. — слева). Кривая 1 — реакция 7; 2 — реакция 10; 3 — реакция 4 и 5; 4 — реакция $d + {}^6\text{Li} \rightarrow {}^3\text{He} + n$; 5 — реакция 15; 6 — реакция 16; 7 — реакция 9.

сечения прохождения сквозь кулоновск. барьер и вероятности последующего, собственно ядерн., превращения.